

[文章编号] 1007-3949(2009)17-10-0793-04

• 实验研究 •

眼镜蛇毒细胞毒素 13诱导人脐静脉内皮细胞凋亡及对 Bcl-2家族基因表达的影响

张明芳¹, 许云禄², 林默君¹

(福建医科大学 1.基础医学院生理学与病理生理学系, 2 蛇毒研究所, 福建省福州市 350004)

[关键词] 眼镜蛇毒; 细胞毒素; 人脐静脉内皮细胞; 细胞凋亡; Bcl-2

[摘要] 目的 研究眼镜蛇毒细胞毒素 13诱导人脐静脉内皮细胞凋亡作用及其对 Bcl-2家族基因表达的影响。方法 CCK-8法测定细胞毒素 13对人脐静脉内皮细胞增殖的影响; Annexin V-FITC/PI双染法观察细胞凋亡形态学改变; 流式细胞术分析 DNA 倍体及细胞凋亡率; 逆转录聚合酶链反应检测 Bcl-2, Bax 和 Bcl_{X_L} 基因表达的变化, Western blotting 检测 Bcl-2和 Bax蛋白表达的变化。结果 细胞毒素 13对人脐静脉内皮细胞增殖具有显著的抑制作用, 并可诱导其发生凋亡, 其抑制作用呈剂量依赖性。细胞毒素 13可上调促凋亡蛋白 Bax 而对抗凋亡蛋白 Bcl-2 和 Bcl_{X_L} 的表达无明显影响。结论 细胞毒素 13可能通过上调 Bax 表达诱导细胞凋亡, 抑制人脐静脉内皮细胞增殖。

[中图分类号] R363

[文献标识码] A

Cobra Cardiotoxin Induced Apoptosis in Human Umbilical Vein Endothelial Cells and Affected the Expression of Bcl-2 Family

ZHANG Ming-Fang¹, XU Yun-Lu², and LIN Mo-Jun¹

(1 Department of Physiology and Pathophysiology, 2 Laboratory of Venan Research, Fujian Medical University, Fuzhou 350004, China)

[KEY WORDS] Cobra Venom; Cardiotoxin; Human Umbilical Vein Endothelial Cells; Apoptosis; Bcl-2

[ABSTRACT] Aim To investigate the effects of cobra cardiotoxin-13 (CTX-13) on the apoptosis of human umbilical vein endothelial cells (HUVEC) and the expression of Bcl-2 family. Methods The effect of CTX-13 on HUVEC proliferation was analyzed by CCK-8 assay. The morphological changes were observed with Annexin V-FITC/PI staining.

The DNA ploidy analysis and apoptotic rates assay were performed by flow cytometry. The expression level of Bcl-2 gene family was measured by RT-PCR and Western blotting. Results CTX-13 caused a dose-dependent decrease of cell viability and displayed several features of apoptosis including translocation of membrane phosphatidylserine and increase of sub G₁ hypodiploid cell population. The apoptotic rates of HUVEC treated with CTX-13 concentrations of 0.3, 0.75, 1.5 μmol/L were 20.50% ± 2.62%, 54.20% ± 4.93% and 93.40% ± 6.45%. CTX-13 up-regulated the mRNA expression of Bax about 4-fold as well as its protein expression, but did not affect the expression of Bcl-2 and Bcl_{X_L}.

Conclusions CTX-13 suppressed HUVEC proliferation significantly and induced apoptosis in a dose-dependent manner.

CTX-13 up-regulated Bax in mRNA and protein level. It was probable the CTX-13 suppressed proliferation and induced apoptosis by up-regulating Bax.

细胞毒素 (cardiotoxin, CTX) 是蛇毒三指蛋白家族的一员^[1], 是眼镜蛇毒的主要毒性成分之一, 具有心脏毒、抑制骨吸收、引起可兴奋组织去极化、抗菌等多种生物学活性^[2], 并可诱导多种肿瘤细胞凋亡^[3~4]。内皮细胞是构成血管的重要成分, 与血管形成、凝血、动脉硬化等生理学与病理学过程密切相关, 也在肿瘤血管新生过程中起关键作用。本实

[收稿日期] 2009-09-09 [修回日期] 2009-10-12
 [基金项目] 国家自然科学基金(30670772); 福建医科大学青年教师科研基金(FJGXQ04010); 福建省自然科学基金(C0620002)
 [作者简介] 张明芳, 博士研究生, 讲师, 研究方向为蛇毒蛋白药理学, Email为 karsu@126.com。许云禄, 教授, 研究方向为心血管药理学。通讯作者林默君, 教授, 博士研究生导师, 研究方向为心血管生理学, Email为 limojun@mail.com。

验室前期从中华眼镜蛇毒中分离得到 4个 CTX, 并已对它们的理化性质、氨基酸序列和生物活性进行了系列研究^[5]。为观察 CTX 对血管内皮细胞增殖、凋亡的影响, 本研究选取 CTX-13 为研究对象, 在人脐静脉内皮细胞 (HUVEC) 模型上研究 CTX 的生物学活性, 并对其可能的分子机制进行探讨。

1 材料和方法

1.1 材料

CTX-13由本实验室从舟山眼镜蛇毒中纯化得到^[5]。HUVEC 细胞株由本实验室保存。RPM II640 培养基购自美国 Gibco公司; 胎牛血清购自杭州四

季青生物工程材料有限公司; CCK-8试剂盒购自日本 Dojindo 同仁化学研究所; Annexin V-FITC/PI凋亡检测试剂盒购自南京凯基生物科技发展有限公司; M-MLV 逆转录酶购自美国 Promega 公司; 2×Premix Taq 购自大连宝生物工程有限公司; 鼠抗 Bcl-2 抗体、鼠抗 Bax 抗体、兔抗 GAPDH 抗体购自美国 Santa Cruz 公司; ECL 化学发光试剂盒购自美国 Invitrogen 公司; 其余试剂均为国产分析纯。生物净化工作台(苏州净化设备有限公司); CO₂ 培养箱(日本 SANYO 公司); 荧光显微镜(德国 Zeiss 公司); 550 型酶标仪(美国 Bio-Rad 公司); 流式细胞仪(美国 Beckman-Coulter 公司)。

1.2 细胞培养

使用含有 10% 胎牛血清的 RPMI 1640 培养基, 37℃ 和 5% CO₂ 常规培养。

1.3 CCK-8 法测定细胞毒素对细胞增殖的影响

取对数生长期的细胞, 制成单细胞悬液(1×10⁸/L), 接种至 96 孔板, 每孔 100 μL, 每组细胞设 5 个复孔。37℃ 和 5% CO₂ 实验条件下常规培养。第二天加药处理, 24 h 后每孔加入 CCK-8 10 μL, 37℃ 培养 1 h 后, 酶标仪上检测 450 nm 处的光吸收度, 按下列公式计算生长抑制率。生长抑制率 = (1 - 用药组平均 OD 值 / 对照组平均 OD 值) × 100%。

1.4 Annexin V-FITC/PI 双染法观察细胞凋亡

细胞以每孔 4×10⁵ 个接种于 6 孔板中, 24 h 后加药处理。用 PBS 洗两遍, 在 500 μL Binding buffer 中加入 2 μL Annexin V-FITC、5 μL 碘化丙啶(PI)混匀, 避光室温反应 5 min。荧光显微镜下观察凋亡细胞形态。荧光显微镜下, 凋亡细胞发绿色荧光, 坏死细胞发红色荧光, 正常细胞不发光。

1.5 流式细胞仪检测细胞凋亡率

凋亡率用 Annexin V-FITC/PI 试剂盒测定, 不同浓度药物处理的细胞用 0.25% 胰蛋白酶消化, 制成单细胞悬液, 调细胞密度为 5×10⁸~1×10⁹ 个/L。取 1 mL 细胞用 PBS 洗涤, 2000 r/m in × 5 m in 重复 3 次, 弃上清液。将细胞重悬于 200 μL 结合缓冲液。加入 10 μL Annexin V-FITC 和 5 μL PI 轻轻混匀, 避光室温反应 15 min。流式细胞仪上检测。

1.6 流式细胞仪分析 DNA 倍体

细胞以每孔 4×10⁵ 个接种于 6 孔板中, 第二天加药处理, 24 h 后消化收集经不同浓度药物处理的细胞, 用冰预冷 PBS 离心洗涤, 2000 r/m in × 5 m in 重复 3 次, 弃上清液。然后用冰预冷的 70% 乙醇固定, 4℃ 过夜。染色前加入 RNase A(终浓度 100 mg/L), 加入 PI 染色液至终浓度 50 mg/L, 室温避光

染色 20 m in。流式细胞仪上检测。

1.7 逆转录聚合酶链反应检测 Bcl-2 家族基因的表达

细胞以每孔 4×10⁵ 个接种于 6 孔板中, 第二天加药处理, 24 h 后用 Trizol 提取 RNA, 紫外分光光度法测定 RNA 浓度及纯度, 常规进行 RT-PCR, 1.5% 琼脂糖电泳, 紫外灯下拍照。用 Phoretix 1D V 2003 02 软件分析图像, 以 GAPDH 基因为内参照计算目的基因的相对表达。引物序列见表 1。

表 1 逆转录聚合酶链反应检测的基因及使用的引物

基因	引物	扩增片段 (bp)
Bax	上游: 5'-CCAAGAACCTGAGCGAGTGT-3' 下游: 5'-CAGCCCATGATGGTTCTGAT-3'	250
Bcl-2	上游: 5'-TGTGGAGAGCGTCAACCGGG-3' 下游: 5'-ATGCAAGCTCCCACCAGGGC-3'	216
Bcl-xL	上游: 5'-GGATCCAGGAGAACGGCGGC-3' 下游: 5'-CCTCCTGCCCTCACCAA-3'	451
GAPDH	上游: 5'-CTCTGCTCCTCTGTCGAC-3' 下游: 5'-TTGATTTGGAGGGATCTCC-3'	451

1.8 Western blotting 检测 Bcl-2 家族蛋白的表达

细胞加药处理 24 h 后, 用 PBS 洗 2 次, 加入 RIPA 细胞裂解液提取总蛋白, BCA 法测定蛋白浓度, 取 40 μg 总蛋白进行 Western blotting 实验。10% SDS-PAGE 电泳后转膜, 分别用鼠抗 Bcl-2、Bax 抗体或兔抗 GAPDH 抗体与膜上的抗原结合, 然后用相应的 HRP 偶联的二抗与其反应, 用 ECL 化学发光试剂检测, 经压片曝光后, 显影和定影。采用 Phoretix 1D V 2003 02 图像分析软件测定和比较各组 Bcl-2 和 Bax 蛋白表达情况。

1.9 统计学方法

数据以 $\bar{x} \pm s$ 表示, 组间比较采用 *t* 检验。

2 结果

2.1 细胞毒素对细胞增殖的影响

CTX-13 处理 24 h 对 HUVEC 的生长有明显的抑制作用, 抑制率为 20.2%~76.0%, 不同浓度处理组与对照组比较有显著性差异($P < 0.01$; 表 2)。

2.2 细胞凋亡变化

不同浓度 CTX-13 处理的 HUVEC 可被 Annexin V-FITC 不同程度的染色, 其中凋亡细胞胞膜完整, 发绿色荧光, 表明细胞磷脂酰丝氨酸外翻, 细胞发生不同程度的凋亡; 而较高浓度 CTX-13 处理后, 许多细胞被 PI 染色呈红色荧光, 为晚期凋亡或坏死细胞

(图 1)。

表 2 不同浓度细胞毒素处理对 HUVEC生长的抑制作用

分组	A_{450}	抑制率
对照组	0.813 ± 0.032	0
0.3 μmol/L CTX-13	0.649 ± 0.043 ^a	20.2% ^a
0.75 μmol/L CTX-13	0.314 ± 0.028 ^a	61.4% ^a
1.5 μmol/L CTX-13	0.195 ± 0.023 ^a	76.0% ^a

a为 $P < 0.01$, 与对照组比较。

2.3 细胞凋亡率

不同浓度 CTX-13作用 24 h 后, 细胞凋亡百分率增加, 细胞凋亡率在对照组为 3.42% ± 0.39%,

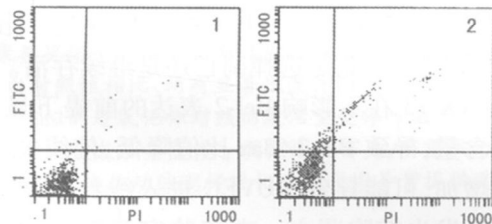


图 2 Annexin V-FITC/PI双染法检测细胞凋亡 1为对照组, 2~4分别为 0.3 μmol/L, 0.75 μmol/L 及 1.5 μmol/L CTX-13组。

2.4 DNA 倍体分析

0.3 μmol/L, 0.75 μmol/L 及 1.5 μmol/L CTX-13作用 24 h 可导致 HUVEC 出现亚 G1 期凋亡峰, 且呈明显的量效关系(图 3)。

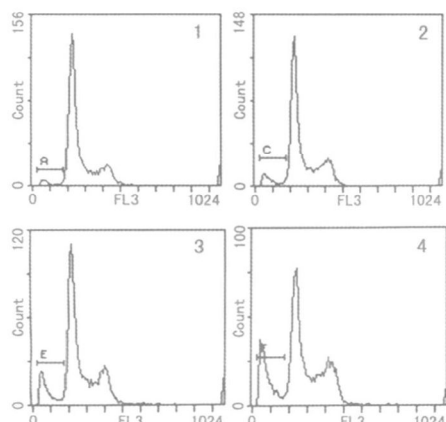


图 3 不同浓度 CTX-13 处理对 HUVEC 的 DNA 倍体分析

1为对照组, 2~4 分别为 0.3 μmol/L, 0.75 μmol/L 及 1.5 μmol/L CTX-13组。

2.5 Bcl-2 家族基因的转录水平变化

经不同浓度的 CTX-13 处理 24 h 后, Bcl-2 和 Bcl-x_L 表达无明显变化, 而 Bax 表达增加(表 3、图 4 和 5)。

0.3 μmol/L CTX-13 组为 20.50% ± 2.62%, 0.75 μmol/L CTX-13 组为 54.20% ± 4.93%, 1.5 μmol/L CTX-13 组为 93.40% ± 6.45%, 且这种抑制作用具有剂量依赖性($P < 0.01$; 图 2)。

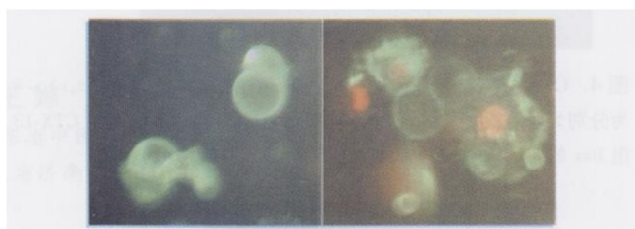
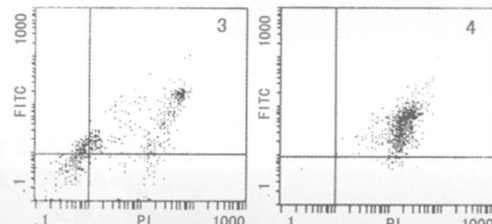


图 1 荧光染色观察 CTX-13 诱导 HUVEC 凋亡 左为早期凋亡细胞, 右为晚期凋亡或坏死细胞。



2.6 Bcl-2 家族蛋白的表达

0.3 μmol/L, 0.75 μmol/L 及 1.5 μmol/L CTX-13 处理 24 h, Bcl-2 蛋白表达无明显变化, 而 Bax 蛋白的表达明显增加(表 4 和图 6)。

表 3 CTX-13 对 HUVEC 的 Bcl-2、Bax 和 Bcl-x_L mRNA 表达的影响 ($\bar{x} \pm s$, $n = 3$)

基 因	Bax	Bcl-2	Bcl-x _L
对照组	0.422 ± 0.042	0.232 ± 0.062	0.388 ± 0.096
0.3 μmol/L CTX-13	0.841 ± 0.233 ^a	0.244 ± 0.009	0.365 ± 0.227
0.75 μmol/L CTX-13	1.180 ± 0.200 ^b	0.255 ± 0.115	0.313 ± 0.030
1.5 μmol/L CTX-13	1.869 ± 0.313 ^b	0.259 ± 0.125	0.395 ± 0.084

a为 $P < 0.05$, b为 $P < 0.01$, 与对照组比较。

表 4 CTX-13 对 HUVEC 的 Bcl-2、Bax 蛋白表达的影响 ($\bar{x} \pm s$, $n = 3$)

	Bax	Bcl-2
对照组	0.448 ± 0.055	0.600 ± 0.102
0.3 μmol/L CTX-13	0.611 ± 0.031 ^a	0.543 ± 0.065
0.75 μmol/L CTX-13	0.884 ± 0.106 ^b	0.616 ± 0.024
1.5 μmol/L CTX-13	1.078 ± 0.128 ^b	0.578 ± 0.057

a为 $P < 0.05$, b为 $P < 0.01$, 与对照组比较。

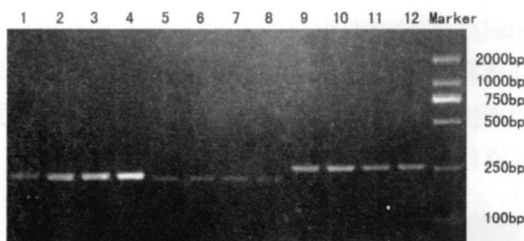


图4. CTX-13对HUVEC Bcl-2和Bax表达的影响 1~4为分别为对照组、0.3 μmol/L、0.75 μmol/L及1.5 μmol/L CTX-13组 Bax的表达,5~8、9~12为相应的Bcl-2、GAPDH的表达。

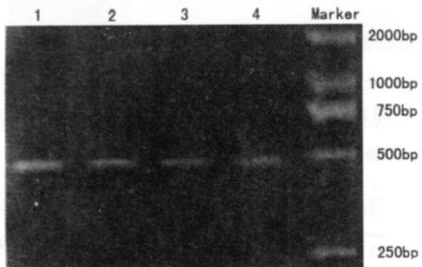


图5. CTX-13对HUVEC Bcl-x_L表达的影响 1~4为对照组、0.3 μmol/L、0.75 μmol/L及1.5 μmol/L CTX-13组。

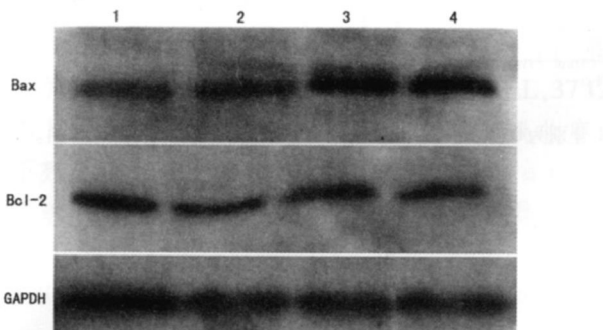


图6. CTX-13对HUVEC Bcl-2和Bax蛋白表达的影响 1~4为对照组、0.3 μmol/L、0.75 μmol/L及1.5 μmol/L CTX-13组。

3 讨论

细胞毒素是眼镜蛇毒中功能最多样、作用机制最复杂的蛋白成分,它可诱导多种肿瘤细胞凋亡,其机制与调节细胞内钙水平、结合细胞膜糖脂、促进活性氧生成以及阻断细胞周期等相关^[3~4]。本研究发现,CTX-13对HUVEC有明显的生长抑制作用,这种作用有剂量依赖关系。同时,流式细胞仪DNA倍体检测也发现,随着CTX-13剂量的增加,凋亡率明显增高,且可出现明显的亚二倍体峰。这些结果说明CTX-13可以诱导HUVEC凋亡。

细胞发生凋亡时,磷脂酰丝氨酸从细胞膜的内侧转移到细胞膜的外侧,Annexin V可特异结合于细胞膜表面的磷脂酰丝氨酸,而使早期凋亡细胞染色;PI为膜非通透性核酸嵌入型染料,不能穿过完整的细胞膜,活细胞和早期凋亡细胞拒染,但PI能穿过死细胞膜,而使晚期凋亡或坏死细胞染色^[6]。本研

究中,低剂量的CTX-13处理可使细胞的细胞膜出现绿色荧光,为早期凋亡,而随着剂量的增加,细胞核被PI染为红色,说明细胞膜通透性增加,为晚期凋亡阶段。

本研究结果发现,CTX-13可上调HUVEC Bax的表达,而对Bcl-2和Bcl-x_L的表达无影响,导致细胞Bcl-2/Bax比值降低。Bcl-2家族是重要的细胞凋亡调控基因^[7],目前已发现多个家族成员,包括抗凋亡蛋白(Bcl-2,Bcl-x_L,Bcl-w等)和促凋亡蛋白(Bax,Bak,Bad,Bid等)^[8]。当细胞接受到凋亡信号时,促凋亡蛋白Bax转位到线粒体膜上形成孔洞,使细胞色素C转位到胞浆,激活Caspase-9而引发凋亡,抗凋亡蛋白Bcl-2可特异结合Bax而形成Bcl-2/Bax异二聚体,阻止线粒体孔洞的形成抑制细胞凋亡。因此Bcl-2和Bax的比值决定了在凋亡信号下,细胞究竟是选择凋亡还是继续存活。我们认为,CTX-13在不影响Bcl-2表达的前提下显著上调Bax含量,导致Bcl-2/Bax比值降低,使线粒体膜通透性增加,可能导致HUVEC进入线粒体凋亡信号途径而发生细胞凋亡。本实验室前期曾通过电镜发现CTX可引起鼻咽癌细胞线粒体肿胀破裂^[9],提示CTX诱导的肿瘤细胞凋亡与线粒体密切相关,是本研究认为CTX通过线粒体机制诱导HUVEC凋亡的重要旁证。

[参考文献]

- Rajagopalan N, Pung YF, Zhu YZ, et al. β -Cardiotoxin: a new three-finger toxin from Ophiophagus hannah (king cobra) venom with beta-blocker activity [J]. *FASEB J.* 2007, **21**: 3 685-695
- Wu PL, Lee SC, Chuang CC, et al. Non-cytotoxic cobra cardiotoxin A5 binds to $\alpha\beta\gamma$ integrin and inhibits bone resorption: identification of cardiotoxins as non-RGD integrin-binding proteins of the Ly-6 family [J]. *J Biol Chem.* 2006, **281**: 7 937-945
- Chen KC, Lin SR, Chang LS. Involvement of mitochondrial alteration and reactive oxygen species generation in Taiwan cobra cardiotoxin-induced apoptotic death of human neuroblastoma SK-N-SH cells [J]. *Toxicon* 2008, **52** (2): 361-368
- Tsai CH, Yang SH, Chien CM, et al. Mechanisms of cardiotoxin III-induced apoptosis in human colorectal cancer colo205 cells [J]. *Clin Exp Pharmacol Physiol* 2006, **33** (3): 177-182
- 张明芳,许云禄,刘广芬.福建产舟山眼镜蛇毒细胞毒素的快速分离纯化及鉴定[J].福建医科大学学报,2004,38(1):1~4
- 杨丽霞,沈珠甫,郭瑞威,等.bcl-2在神经酰胺致人脐静脉内皮细胞凋亡中的作用[J].中国动脉硬化杂志,2008,16(2):132~134
- 赵宏,丁丽颖,刘国良.酰基化ghrelin抑制高糖诱导的人血管内皮细胞凋亡[J].中国动脉硬化杂志,2007,15(11):831~833
- Brunelle JK, Letai A. Control of mitochondrial apoptosis by the Bcl-2 Family [J]. *J Cell Sci.* 2009, **122** (4): 437-441
- 许云禄,张明芳.舟山眼镜蛇毒细胞毒素-F对人鼻咽癌细胞和乳鼠心肌细胞的抑制作用[J].福建医科大学学报,2004,38(2):121~124

(本文编辑 文玉珊)